

05.13.06 –

()



– 2017

:

,

:

,

«

»

,

,

,

• • •

:

• • •

().

« » 2017
212.141. 06 —

105005, . . . 2- . . 5, . . 1.

2-

, , ,

.

www.bmstu.ru.

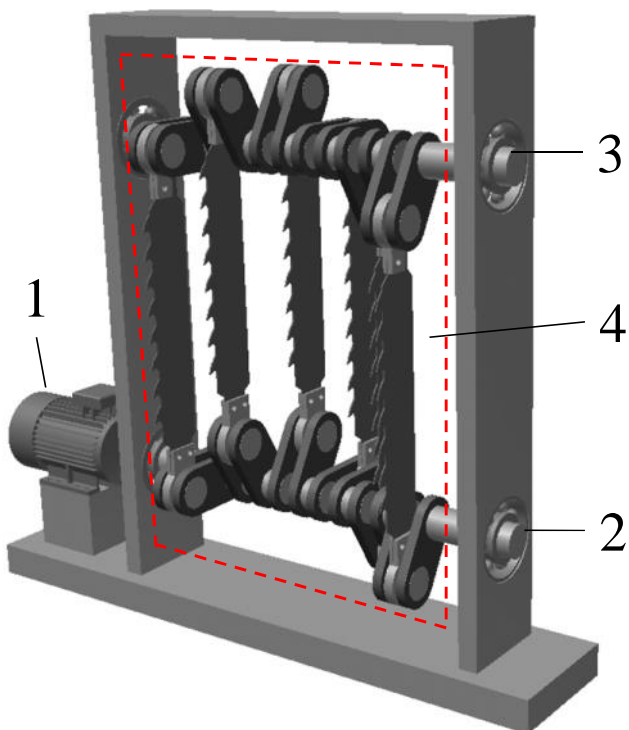
: 8 (499) 267-09-63

« ____ » 2017 .

• • ,



• •



. 1.

1- ; 2,3-
4- ()

1.

2.

3.

()

4.

5.

• • • • •

• • • • •

• • • • •

• • • • •

1.

• • • • •

2.

• • • • •

3.

- (),

• • • • •

4.

• • • • •

• • • • •

• • • • •

1.

• • • • •

2.

• • • • •

3.

• • • • •

4.

«

2015 .., 2016 .., 2017 » ..
-12/2015, ; 5/2016; XVI-
AD/CAM/PDM – 2016, . . . – 2017. ;

9

–

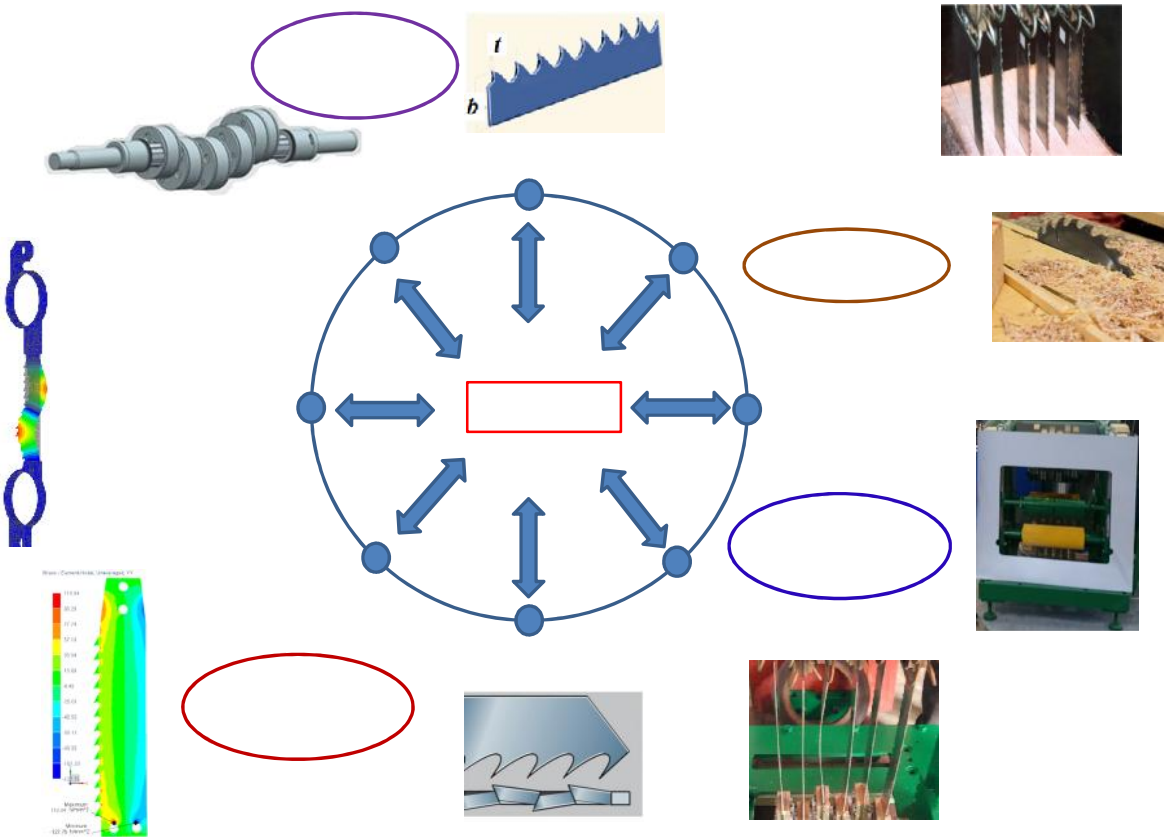
Web

1
Science Scopus.

, , 157 , 146 62 12 ,

CAD/CAM/CAE/PDM/PLM ,

c



. 2.

,

88

» (. 2).

,

,

1

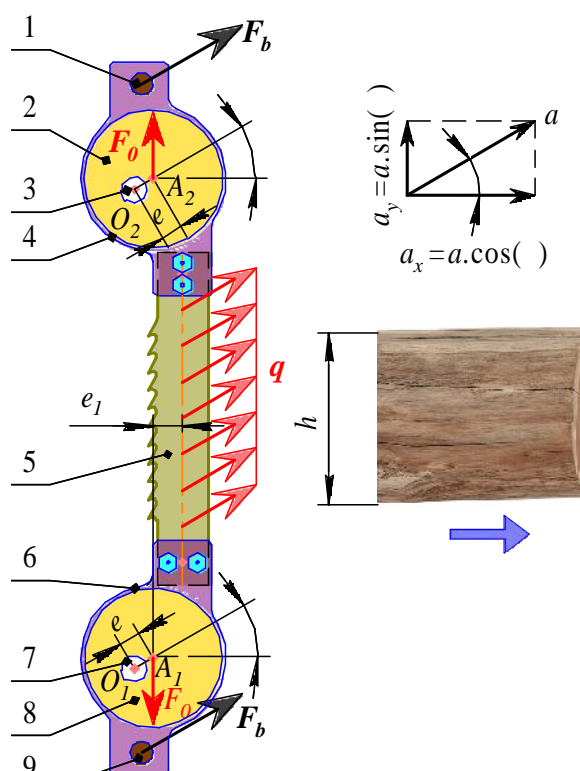
,

A diagram illustrating a stack structure. A vertical line representing a stack grows downwards from a horizontal rectangle. The rectangle contains the characters '(', ',', and ')'. A horizontal arrow on the left points into the rectangle, and a horizontal arrow on the right points out from the rectangle.

. 3.

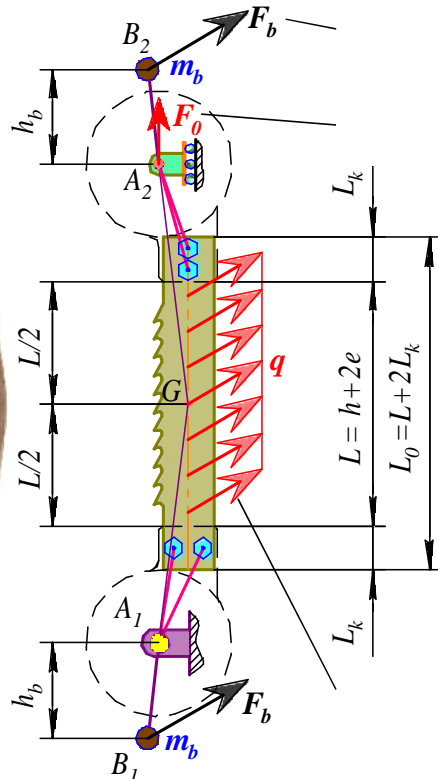
(. 3),

$$F_0 \qquad \qquad \qquad e_{I\cdot}$$



1

. 4.



q

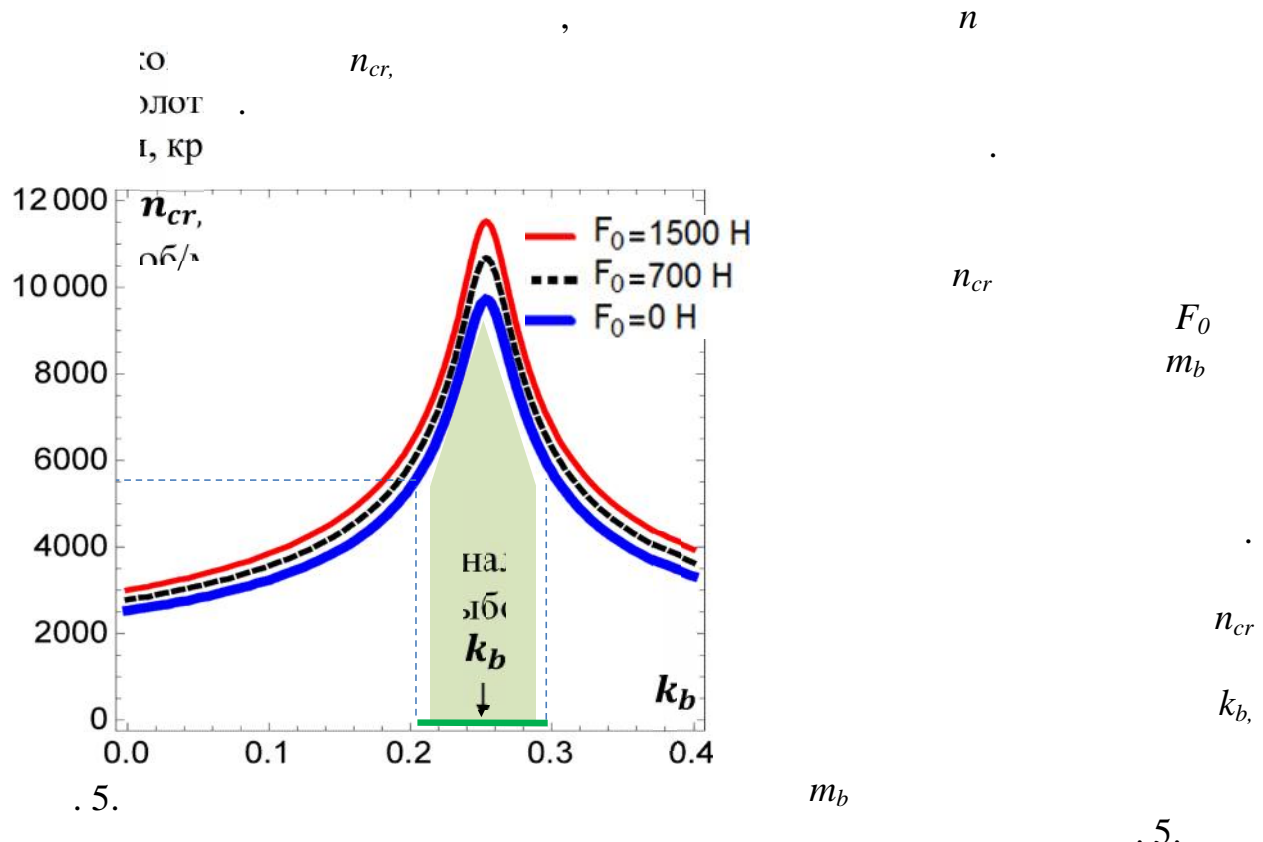
1, 9 -
3, 7 -

,) ; 2, 8 -
: 4, 6 -

$$e, \quad v = e \left(\frac{2fn}{60} \right) \\ a = e \left(\frac{2fn}{60} \right)^2. \quad n - e -$$

(. 4).

$q,$



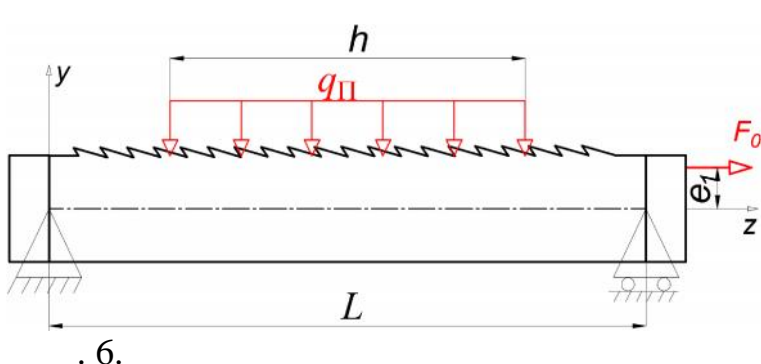
F₀

$$0.2 < k_h < 0.3,$$

11

2

$$E_1(-4, -5)$$



$$P_{cr} \equiv q_{cr}h \text{ (. 6).}$$

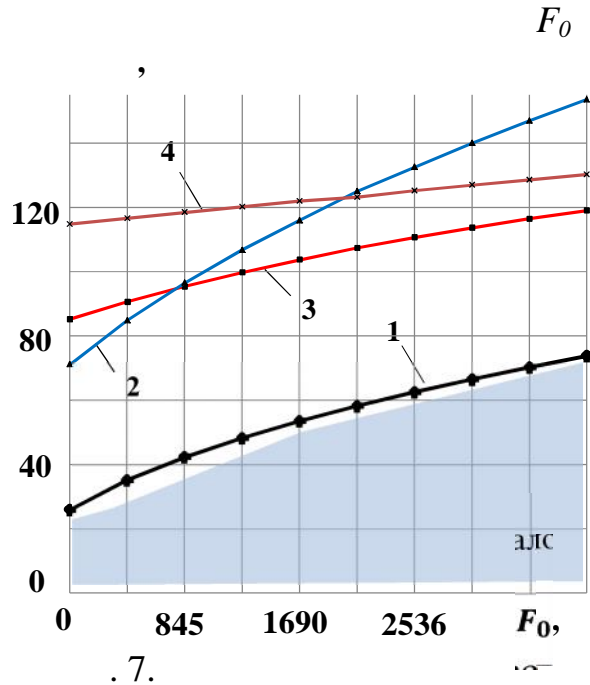
h - .

$q_{cr} =$

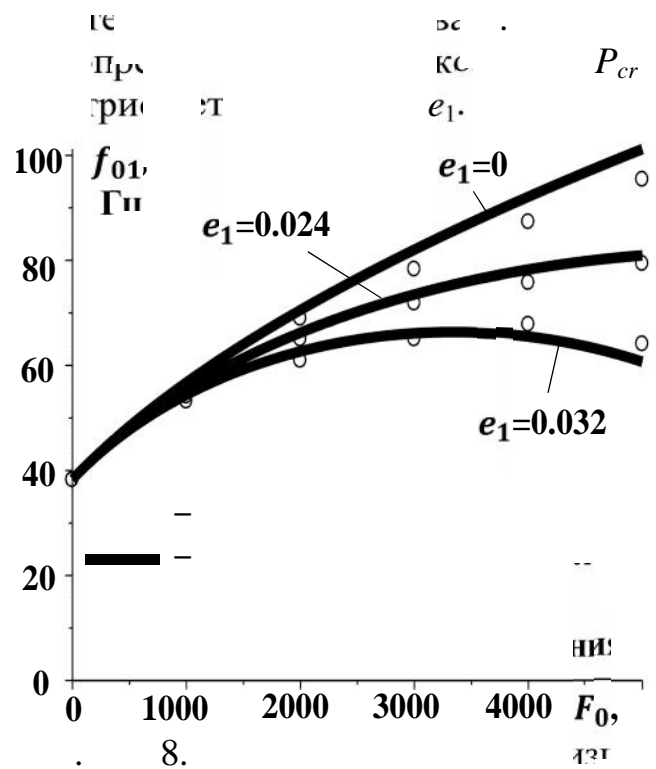
,
 $P_0: P_{cr} = P_0.$

P_{cr}

P_{cr}



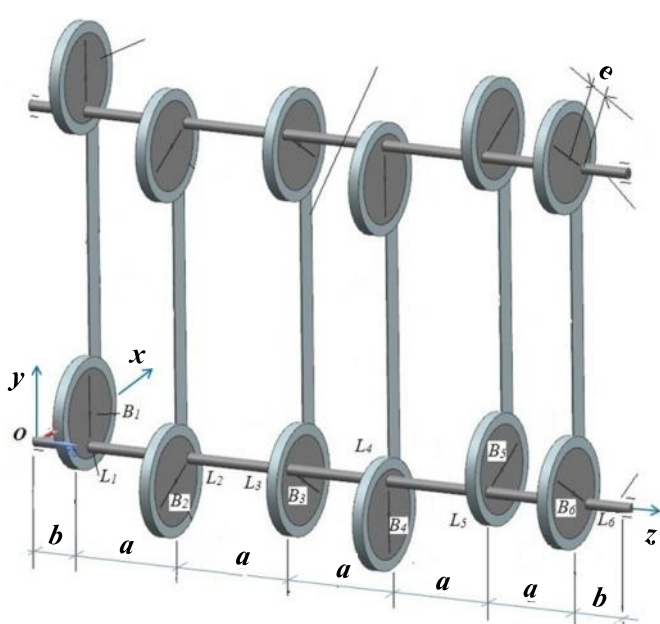
. 7.



. 8.

F_0 1- .
2- , 3- , 4-

F_0
 e_1

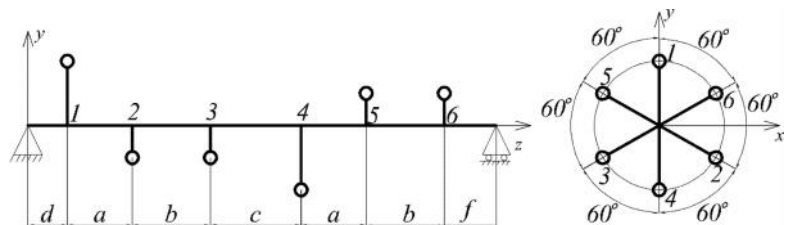


. 9.

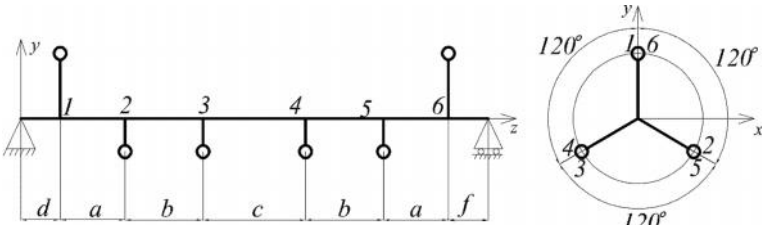
F_0
 e_1 (. 8.).

6 (. 9),
(. 10).
, 3

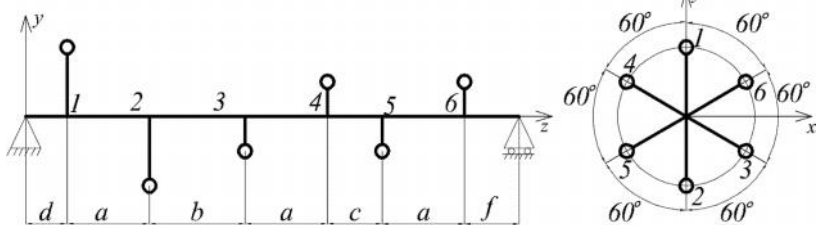
) 1 -



) 2



) 3 -



. 10.

1.

.	
1	e	0.03	0.035		
2	b	0.06	0.1		
3	t	1	2		
4	e_1	0	0.08		
5	h_b	0.1	0.2		h_b
6	m_b	0	1		
7	F_0	500	2000		
8	n	2000	3000	/	

1÷ , 9
3).

· 9 8 (,

(. 11).

2.

.	.	
f_1	0	
f_2	0	
f_3	0	
f_4	0	
f_5	0	
f_6	0	
f_7	0	
f_8	0	
f_9	0	

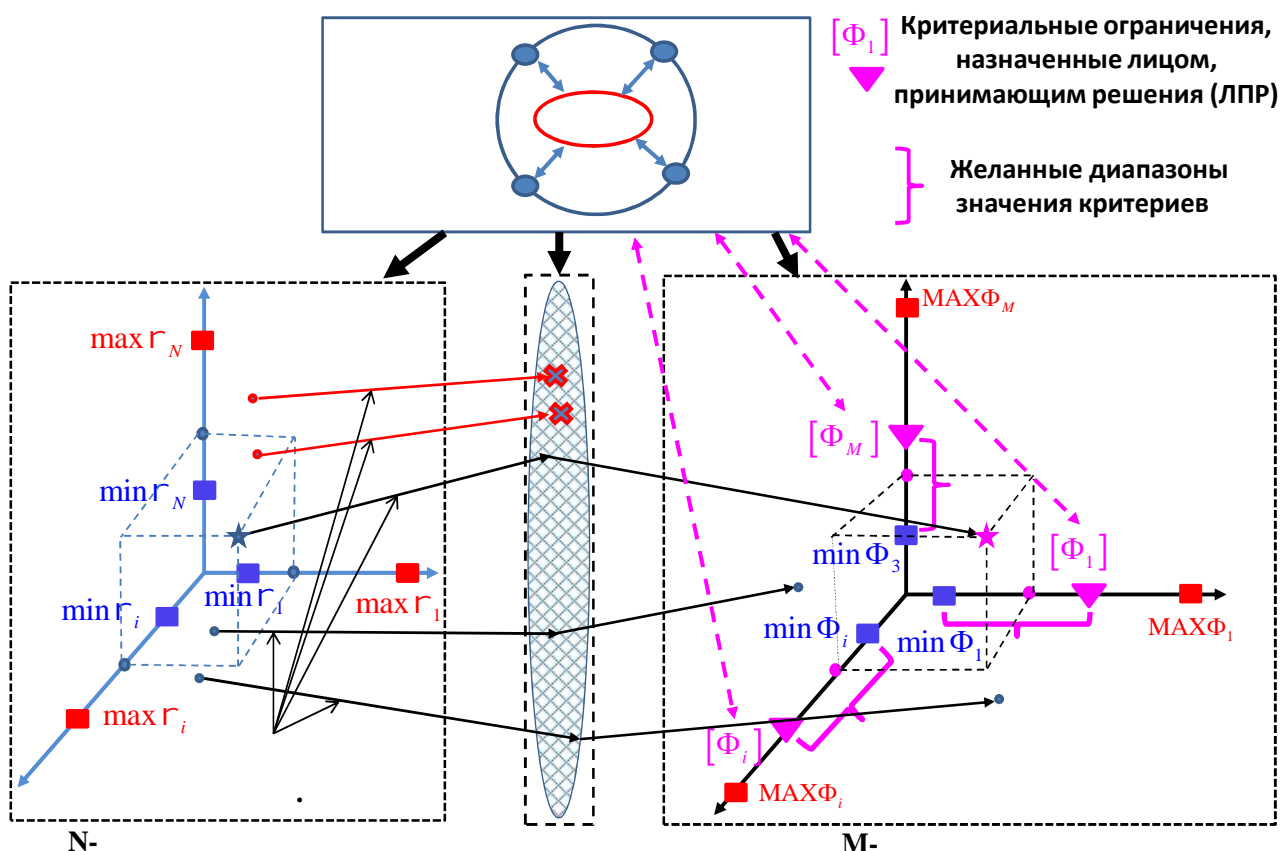
3.

.	.	
1		
2		
3		
4	/	
5		
6	/	
7		
8	/	
9		

1. (. 11 . 12):
[\min_i, \max_i];
 $i, i = 1 \dots n$ —

2.

, MAX_i MIN_i



11.

3.

4.

[Φ_i],

(Φ_i)

5.

$\min \Phi_i$

MAXΦ ₁	MAXΦ ₂	MAXΦ _i	MAXΦ _{M-1}	MAXΦ _M
...
[Φ ₁]	[Φ ₂]	[Φ _i]	[Φ _{M-1}]	[Φ _M]
...
minΦ ₁	minΦ ₂	minΦ _i	minΦ _{M-1}	minΦ _M
...
MINΦ ₁	MINΦ ₂	MINΦ _i	MINΦ _{M-1}	MINΦ _M

12.

6.

4 5

(M-1)

7.

(M-1)

,

•

•

•

« »

•

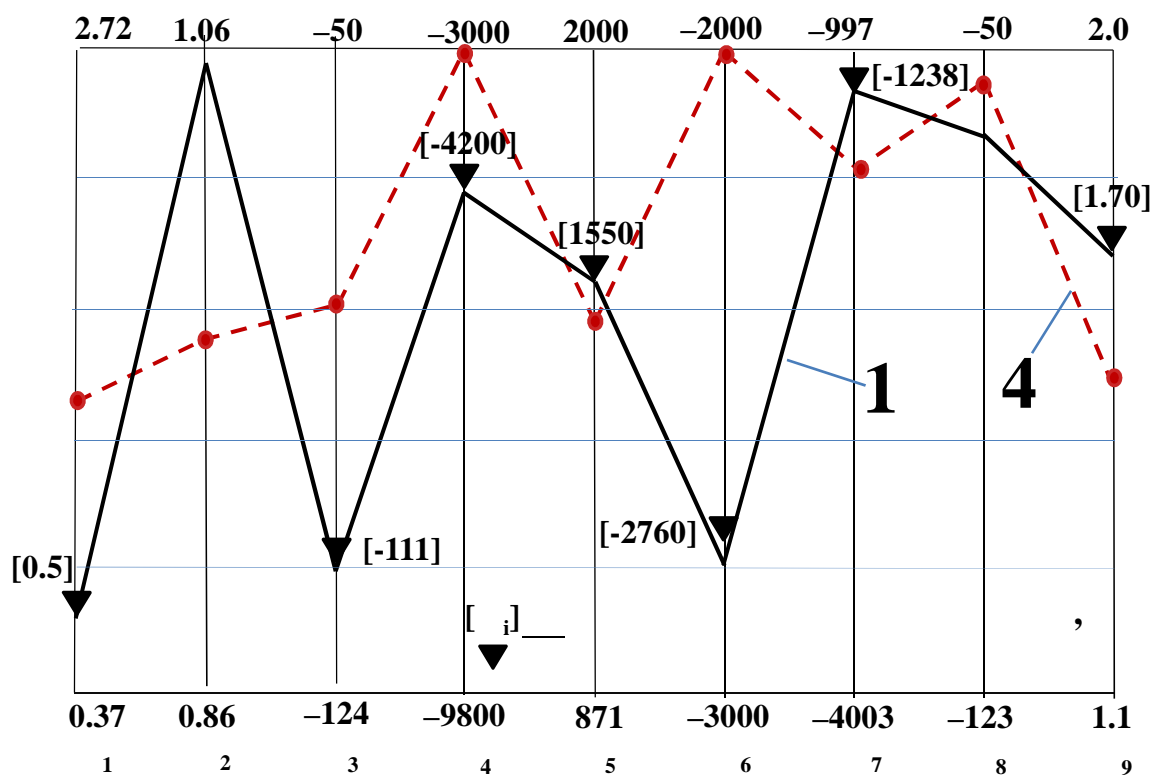
•

•

«VIAM»,
VIAM
Maple

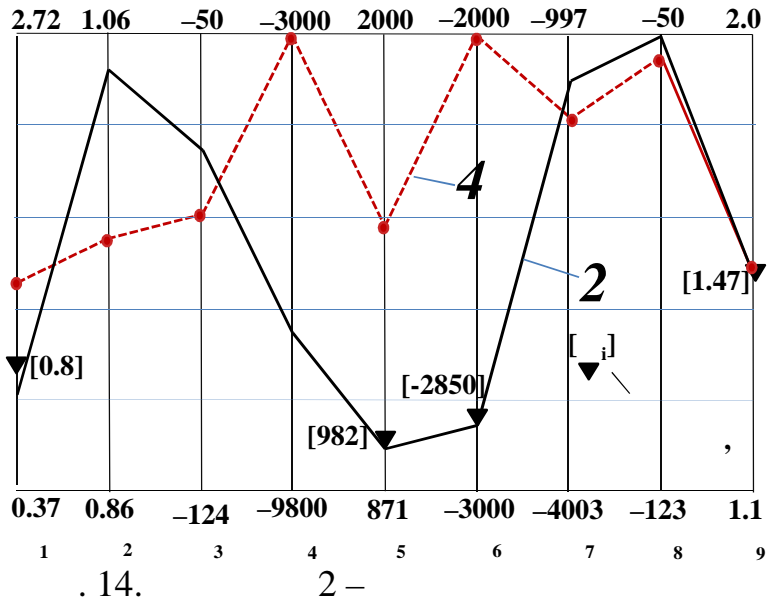
(. 13

4).

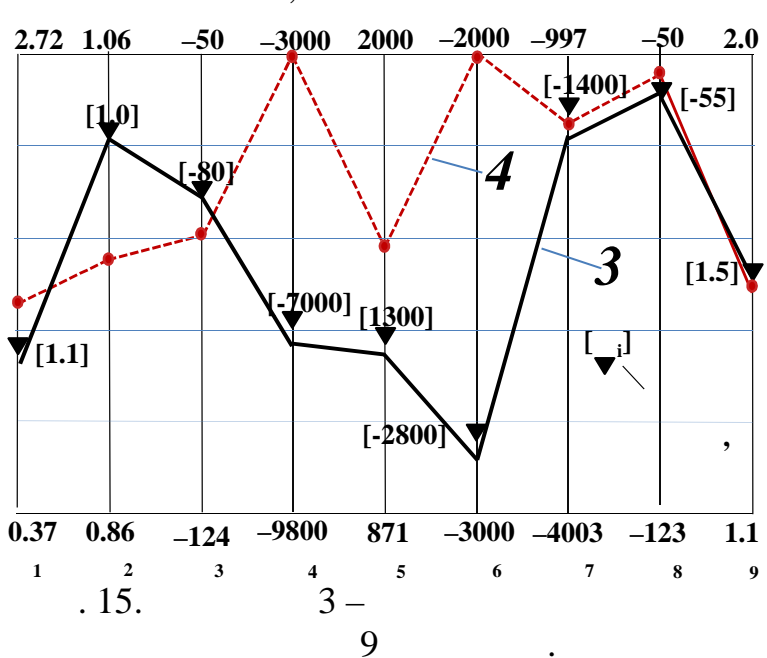


. 13. $\Phi_1, \Phi_3, \Phi_4, \Phi_5, \Phi_6, \Phi_7, \Phi_9$. 1 – 1, 4 –

7



$\{\Phi_1, \Phi_3, \Phi_4, \Phi_5, \Phi_6, \Phi_7, \Phi_9\}$,

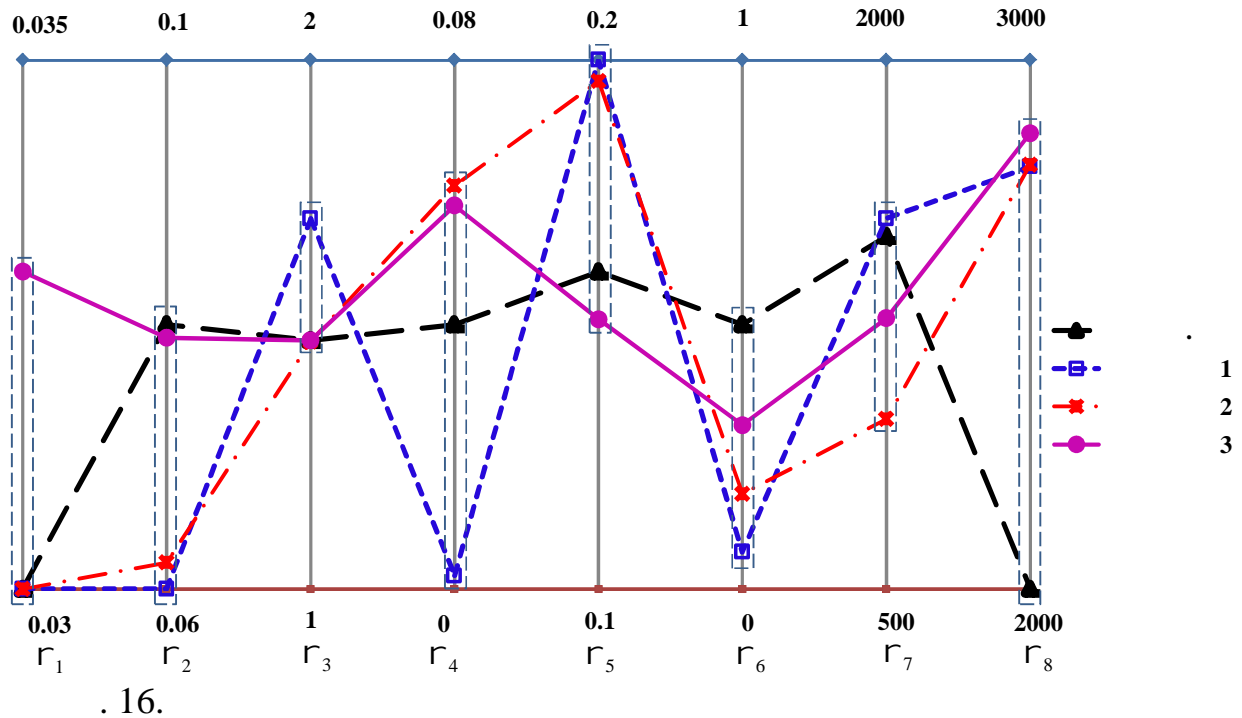


4.
14 ÷

4.

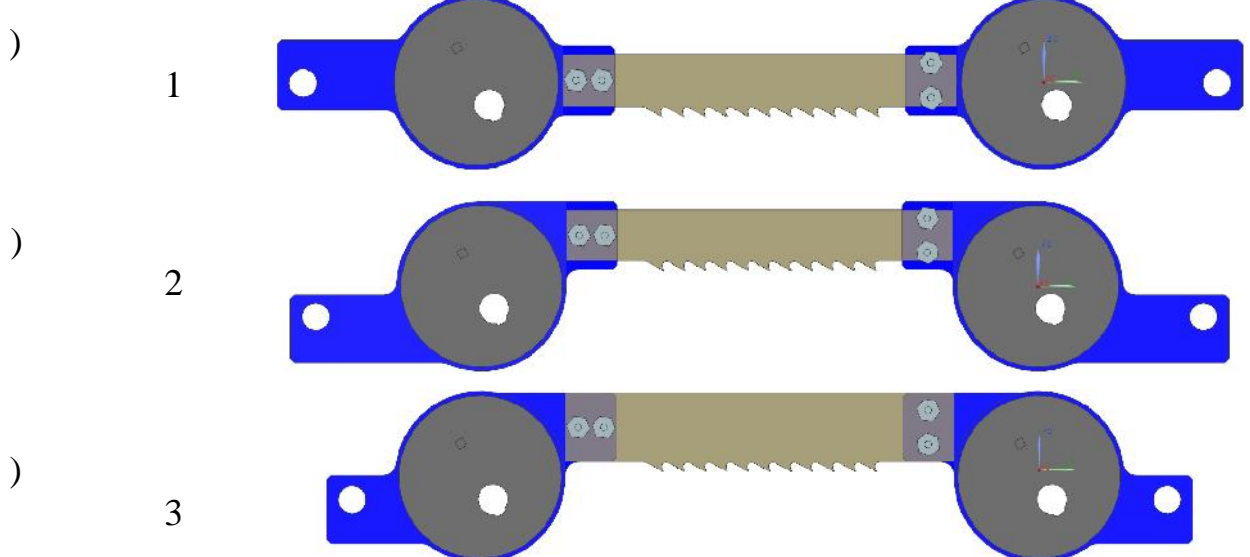
	i	1	2	3	4	5	6	7	8	9
MAX	i	2,72	1,06	-50	-3000	2000	-2000	-997	-50	2
MIN	i	0,37	0,86	-124	-9800	871	-3000	-2000	-4003	1
.	i	0,030	0,08	1,47	0,04	0,160	0,50	1500	2000	-
	i	1,35	1,050	-90	-3047	1500,0	-2000,0	-1507	-55	1,47
1	i	0,030	0,060	1,70	0,002	0,200	0,07	1550	2798	-
	i	0,50	1,054	-111,6	-4163	1550,3	-2798,3	-1238	-57,5	1,70
2	i	0,030	0,062	1,468	0,061	0,196	0,18	982	2852	-
	i	0,695	1,046	-79,1	-7427	982,0	-2852	-1257	-50,2	1,47
3	i	0,033	0,079	1,47	0,058	0,151	0,31	1267	2862	-
	i	1,04	0,962	-80,0	-7263	1267,9	-2861,7	-1584	-55,5	1,47

. 16



. 16.

. 17.



. 17.

3.

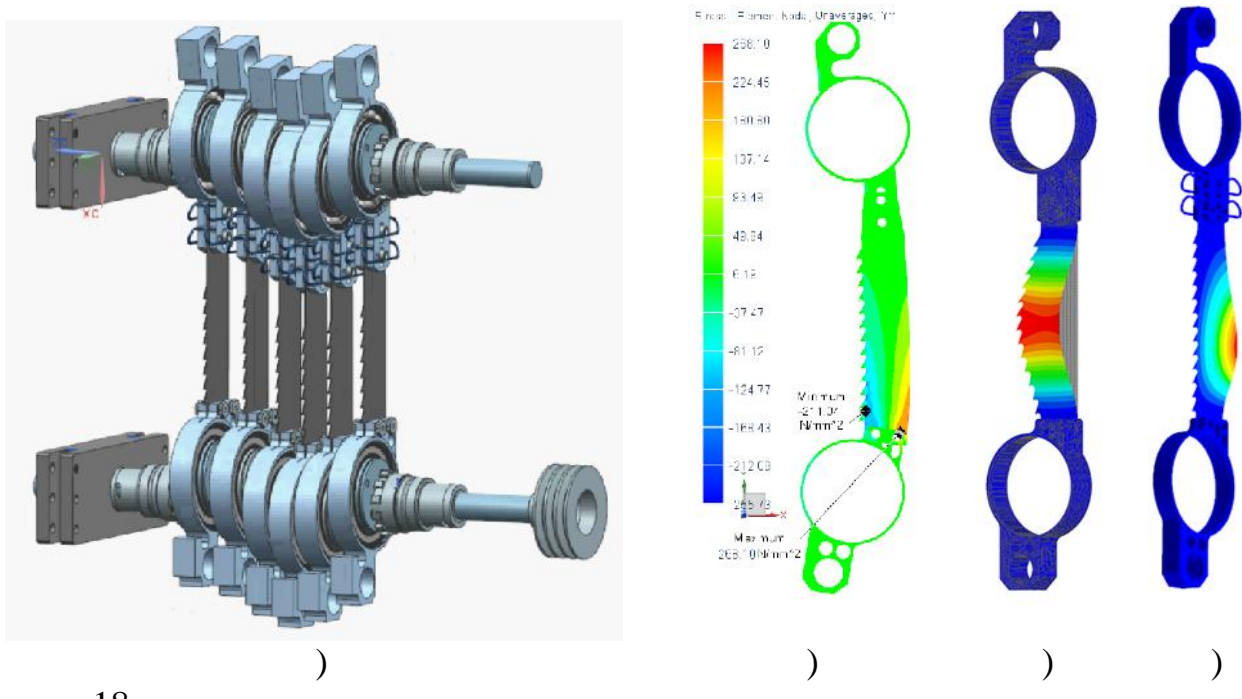
Unigraphics

NX.

. 18

- NX Nastran APM WinMachine.

VIAM.



. 18.

) 3D-
)

Unigraphics NX

1.

2.

3.

4.

5.

